



ارائه یک مدل ریاضی کاربردی به منظور برآورد استحکام تنہ و ضریب اطمینان درختان با تاج گندی در مقابل نیروی باد

جلال برادران مطیع^{۱*} - محسن شاکری^۲

تاریخ دریافت: ۸/۱۰/۸

تاریخ پذیرش: ۶/۴/۹۱

چکیده

یکی از راههای جلوگیری و کاهش خسارات ناشی از شکست درختان اجرای برنامه پایش وضعیت است. عیوبی نظیر پوسیدگی، پوکی و حفره در تنہ درختان موجب کاهش مقاومت در برابر نیروهای واردۀ از تاج، نظیر باد می‌شود. در این مقاله با استفاده از تکنیک مدل سازی ریاضی بر پایه روش‌های مقاومت مصالح، پارامترهای اثرگذار در مقاومت مکانیکی تنہ درختان با تاج گندی در مقابل باد بررسی، و مدلی کاربردی به منظور تعیین ضریب اطمینان استحکام تنہ در برابر نیروهای ناشی از باد تهیّه شد. در این مدل می‌توان با در دست داشتن برخی پارامترهای هندسی نظیر (ابعاد تاج و تنہ، چگالی حجمی تاج، سطح و حجم تاج در مقابل باد، قطر مقطع تحت برسی) و پارامترهای مکانیکی مانند (مدول الاستیسیته چوب، حداکثر تنش قابل تحمل، حداکثر سرعت باد در منطقه، وزن تاج و تنہ) تنش کل ایجاد شده در مقطع مورد نظر را بدست آورد. با مقایسه حداکثر تنش کل در تنہ با تنش قابل تحمل چوب درخت، ضریب اطمینان تنہ، برای یک نمونه درخت چنار محاسبه گردید. همچنین این مدل نشان داد حداکثر تنش کل ایجاد شده در مقطع درخت تحت شرایط یکسان سرعت باد، ارتفاع درخت و چگالی تاج با تغییر قطر حفره داخلی از ۴۰ درصد قطر تنہ به صورت تابع درجه چهار با $R^2 = 0.99$ به طور ناگهانی افزایش یافت.

واژه‌های کلیدی: استحکام تنہ، چگالی تاج، سرعت باد، ضریب اطمینان، مدل ریاضی

به دو بخش پایش از نظر آفات نباتی و پایش مقاومت در برابر نیروهای خارجی تقسیم بندی می‌شود.

از جمله عواملی که موجب کاهش مقاومت درخت در برابر نیروهای خارجی می‌شود می‌توان به وجود حفره در تنہ، پوکی و پوسیدگی بافت چوب اشاره نمود. روش‌های مختلفی به منظور تشخیص و تعیین میزان و گسترش عوامل فوق الذکر وجود دارد. در روش سنتی، بازرگانی درخت توسط یک فرد با تجربه صورت می‌گیرد. فرد با استفاده از چکش به تنہ درخت ضرباتی وارد کرده و با توجه به طنین صدای ایجاد شده پی به وجود حفره و پوسیدگی چوب می‌برد. این روش قابلیت اطمینان پایینی دارد و ممکن است در یک تصمیم گیری اشتباه موجب قطع درختانی می‌شود که هنوز توانایی مقاومت در برابر باد و طوفان را دارند.

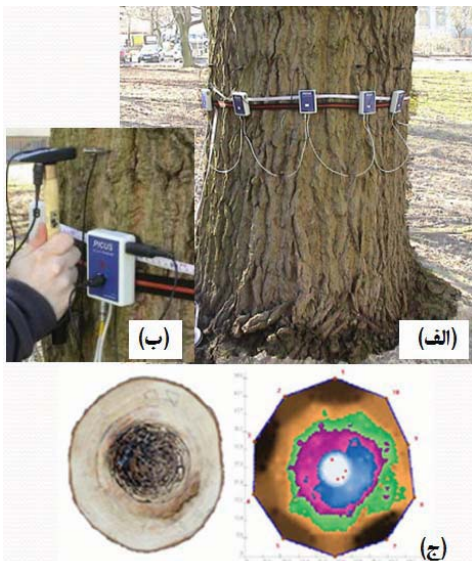
به منظور حذف خطا انسانی در مرحله بازرگانی و پایش درختان روش‌های دیگری توسعه یافته‌اند. از جمله این روش‌ها می‌توان

مقدمه

با توجه به تراکم جمعیت در محیط‌های شهری و الودگی‌های زیست محیطی ناشی از آن، حفظ و ایجاد فضاهای سبز از دغدغه‌های مدیران شهرها می‌باشد. از طرفی همه ساله در اثر عواملی نظیر باد، طوفان، برف، زمین لرزه و رانش زمین تعدادی از درختان سقوط کرده و خسارات جانی و مالی قابل توجهی بیار می‌آورند. از این رو تشخیص درختان پر خطر و تعیین حد آستانه نیروی قابل تحمل توسط تنہ آنها، می‌تواند در تصمیم‌گیری در مورد حفظ، تقویت و یا قطع و جایگزینی درختان تعیین کننده باشد. بدین منظور لازم است برنامه جامع پایش و ضعیت درختان اجرا شود. این برنامه شامل سرشماری درختان و بازرگانی‌های دوره‌ای می‌باشد. پایش وضعیت درختان در این برنامه

۱- دانشجوی دکتری و مری گروه مکانیک ماشینهای کشاورزی، دانشکده کشاورزی، دانشگاه فردوسی مشهد

۲- نویسنده مسئول: (Email: Jalal_jbm@yahoo.com)



شکل ۲- روش صوت نگاری (الف) چیدمان گیرنده های صوتی (ب) ایجاد پالس صوتی به وسیله چکش مخصوص (ج) توموگراف، وضعیت داخلی تنه از نظر وجود حفره و پوسیدگی را نشان می دهد.

استفاده از امواج رادار: این روش بر پایه بازتابش امواج رادار ارسالی درون تنه درخت در اثر برخورد جسمی با خواص الکترومغناطیسی متفاوت بنا شده است. بدین منظور آتن مخصوص که دارای فرستنده و گیرنده امواج رادار زمین نفوذ با فرکانس مشخص می باشد توسط کاربر ۳۶۰ درجه به دور تنه درخت دوران داده می شود (شکل ۳). قسمت هایی از چوب که دچار پوکی، پوسیدگی یا حفره شده باشند خواص الکترومغناطیسی متفاوتی نسبت به سایر بخش های چوب سالم دارند، در نتیجه مقداری از موج ارسال شده بازتابش کرده و مقداری از آن نیز عبور می کند (۳). اطلاعات مربوط به ارسال و دریافت امواج درون واحد کنترل دستگاه که یک رایانه قابل حمل می باشد پردازش و ذخیره می شود.

این دستگاه به نام اسکن ام. ار. آی^۴ و یا یونیت رادار^۵ درخت شناخته می شود. با استفاده از دستگاه اسکن درختان، می توان به صورت غیر مخرب، پوکی، حفره و پوسیدگی بافت چوب (شکل ۴) و همچنین پراکنش ریشه در اطراف درخت را نیز تشخیص داد. روش های فوق الذکر تنها اطلاعات خامی از محل و اندازه حفره درون تنه درخت را در اختیار می گذارند، حال آنکه تصمیم گیری در مورد نگهداری یا قطع درخت بر اساس نتایج آنها، لازم است پارامترهای دیگری نظیر ارتفاع تاج، قطر تنه و حفره، ارتفاع محل قرار گیری حفره، حداقل سرعت وزش باد در منطقه مورد نظر را مورد توجه قرار داد.

4- Tree M.R.I. Scan

5- Tree Radar Unit (TRU)

مقاومت نگاری^۱، صوت نگاری^۲ و کاربرد امواج رادار زمین نفوذ^۳ را نام برده.

مقاومت نگاری: در این روش با استفاده از تجهیزات مخصوص سوراخ های ریزی درون درخت تا مرکز تنه ایجاد می شود. دریل سوراخ کن توانایی اندازه گیری و ذخیره مقاومت چوب در مقابل سوراخ شدن با متنه در هر لحظه را دارد. با توجه به تغییرات مقاومت چوب می توان در مورد وجود حفره و پوکی تنه اظهار نظر کرد (۶) (شکل ۱). روش مقاومت نگاری از جمله روش های مخرب پایش وضعیت درختان می باشد زیرا موجب آسیب فیزیکی به چوب درخت می شود.



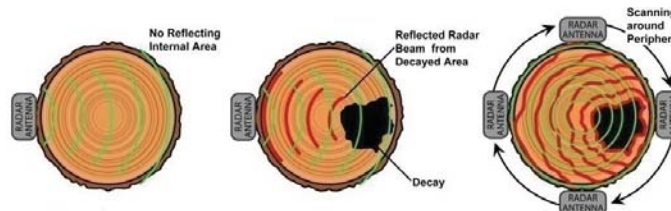
شکل ۱- پایش وضعیت تنه درخت بوسیله روش مقاومت نگاری
الف) دستگاه مقاومت نگار (رزیستوگراف) ب) نوار گراف تغییرات سختی چوب در مسیر ورود متنه به درون تنه

روش صوت نگاری: این روش بر پایه اندازه گیری سرعت صوت درون چوب تنه درخت بنا شده است. سرعت عبور صوت در چوب سالم بیشتر از چوب پوک و پوسیده می باشد. بدین منظور گیرنده های مختلفی در اطراف تنه نصب می شود سپس به وسیله چکش مخصوص به تنه ضربه زده می شود (شکل ۲). هر کدام از گیرنده ها سرعت عبور صدای ناشی از ضربه را در جهات مختلف اندازه گیری می کنند. یک نرم افزار رایانه ای می تواند داده های گیرنده ها را پردازش کرده و محل و اندازه حفره های موجود در تنه درخت را تشخیص دهد. این روش غیر مخرب بوده و آسیبی به درخت وارد نمی کند (۴).

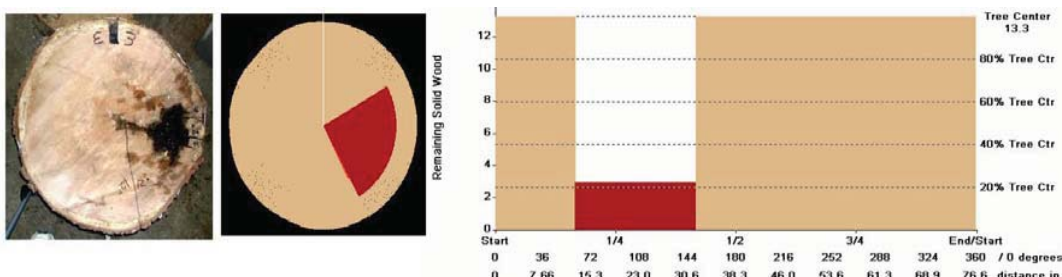
1- Resistography

2- Sonic Tomography

3- Ground Penetrating Radar (GPR) Tomography, Tree Radar Unit (TRU)



شکل ۳- گردش آنتن به دور تنه درخت و تشخیص محل حفره



شکل ۴- نمودار تعیین مقدار چوب باقی مانده در مقطع درخت و مقطع پیش بینی شده تنه درخت توسط دستگاه TRU

درختان در اثر نیروی وزن خود سقوط نمی‌کنند. در این بین نیروی باد مهمترین و مؤثرترین عامل شکست تنه و سقوط درخت به شمار می‌رود. تحلیل مقاومت درخت در برابر نیروی باد را می‌توان با داشتن چگالی و ارتفاع زنده تاج و نیز ارتفاع کل درخت انجام داد.

هنگامی که درخت تحت تأثیر نیروی باد قرار می‌گیرد دچار تغییر شکل و خمش می‌شود (شکل ۳). نیروی ایجاد شده در اثر برخورد باد با شاخ و برگ درخت به مراتب بیشتر از نیروی ناشی از برخورد باد با تنه آن می‌باشد، در نتیجه می‌توان از این نیرو در درختانی که تاج بزرگ و متراکمی (مانند چنار، بلوط، گردو) دارند صرفه نظر کرد. شاخ و برگ درخت در برابر باد ایجاد مقاومت کرده و متناسب با تراکم برگ‌ها و شاخه‌ها (چگالی تاج)، سرعت باد پس از عبور از تاج کاهش می‌یابد. اختلاف سرعت باد در دو طرف تاج سبب ایجاد اختلاف فشار هواگردیده که موجب ایجاد نیروی فشاری به صورت بار گسترده بر تاج می‌شود. محل اثر برایند بار گسترده ناشی از باد با توجه به شکل هندسه فضایی تاج متفاوت است اما به طور عموم می‌توان با تقریب خوبی در درختان با تاج گنبده و مخروطی آن را در ۰/۶ ارتفاع تاج در نظر گرفت (۱). برآورد بزرگی این نیرو با روش‌های مختلفی نظیر نصب کرنش سنج و کابل کشی (۵) و مدل‌های ریاضی (۷ و ۸) امکان پذیر است.

کودر و همکاران پس از آزمایشات گسترده روی درختان با تاج مخروطی و شبه گنبده جدولی به منظور برآورد نیروی درگ (نیروی باد) با داشتن سرعت باد و چگالی تاج در جهت وزش باد، تهیه کرده‌اند (جدول ۱). چگالی تاج را می‌توان بوسیله عکس برداری از درخت در جهات مختلف و به کمک نرم افزارهای پردازش تصویر تعیین نمود. بدین منظور تصاویر بایستی در راستای وزش باد (معمولًاً

هدف از این تحقیق ارائه روشهای صورت یک مدل ریاضی بر اساس اصول مقاومت مصالح و استاتیک حاکم بر درخت می‌باشد که به کمک آن بتوان نتایج حاصل از روشهای مختلف پایش وضعیت درختان را به سوی یک تضمین گیری نسبتاً دقیق هدایت نمود. این مدل می‌تواند مورد استفاده کارشناسان فضاهای سیز شهری واقع شود.

مواد و روش‌ها

در این تحقیق به منظور تعیین وضعیت تنه از نظر وجود حفره‌های داخلی و تشخیص محل و اندازه حفره‌ها دستگاه TRU به علت سرعت بالا و نتایج با دقت مناسب، پیشنهاد می‌شود. در این دستگاه آنتن، مجهر به چرخ لاستیکی می‌باشد که روی سطح تنه درخت در حین دوران می‌چرخد. چرخش چرخ میزان پیش روی آنتن را مشخص نموده و دستگاه به ازای هر ۵ میلی متر پیش روی یک پالس موج الکترومغناطیس به سمت مرکز تنه ارسال می‌نماید. رزولوشن نتایج دستگاه در چوب ۳ سانتی متر می‌باشد. همچنین ارتفاع مؤثر اسکن توسط دستگاه ۳۰ سانتی متر است که می‌توان به راحتی در چند ارتفاع عمل اسکن را انجام داد.

نیروها و معادلات حاکم بر تنه درخت

نیروی وزن و نیروی باد دو نیروی عمدی وارد بر تاج و تنه درخت می‌باشند. بررسی مقاومت ساختاری درخت در مقابل این دو نیرو به دلیل نبود اطلاعات کافی از شرایط درخت و نیروهای وارد بر آن فرایندی پیچیده است. با توجه به نحوه رشد تنه، عموماً هیچگاه

$$x_1 = \frac{Fh_3^3}{3EI} \quad (2)$$

$$\theta = \frac{Fh_3^2}{2EI} \quad (3)$$

$$x_2 = \frac{F}{6EI} [3h_3h_4^2 - h_4^3] \quad (4)$$

$$x_3 = \frac{F}{6EI} [3h_3a^2 - a^3] \quad (5)$$

$$y_1 = x_1 \cdot \operatorname{tg}(\theta) = \frac{Fh_3^3}{3EI} \cdot \operatorname{tg}\left[\frac{Fh_3^2}{2EI}\right]_{\text{rad}} \quad (6)$$

در این روابط h_3 ارتفاع نقطه اثر نیروی درگ (Fd)، در دو سوم ارتفاع تاج قرار دارد، h_4 ارتفاع نقطه اثر نیروی وزن تاج، در یک سوم ارتفاع تاج، θ زاویه خمش درخت تحت اثر نیروهای وارد بر آن، a ارتفاع نقطه اثر نیروی وزن تنه که در نصف ارتفاع تنه در نظر گرفته شود، x_1 خمش درخت در محل اعمال نیروی F، x_2 خمش درخت می شود، x_3 خمش درخت در محل نقطه اثر نیروی وزن تنه، y_1 تغییر وضعیت عمودی نقطه اثر نیروی F پس از خمش، I ممان اینرسی مقطع درخت و E مدول الاستیسیته چوب سبز درخت می باشد.

وزن تنه درخت w_2 و وزن تاج w_1 با در دست داشتن چگالی چوب، چگالی حجمی تاج در حالت بدون برگ m_0 و حجم تاج V_1 وزن عوامل متفرقه مانند وزن برگ ها و برف، مساحت مقطع تحت بررسی A_s و ارتفاع تنه h_1 از روابط ۷ و ۸ قابل محاسبه است.

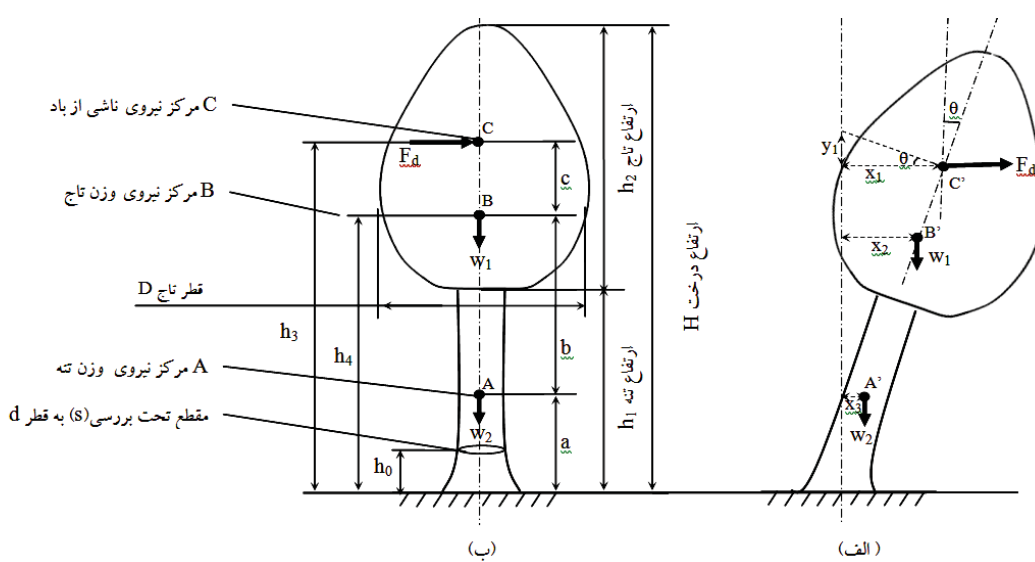
افق) نسبت به درخت تهیه شوند.

در اثر نیروی باد علاوه بر گشتاور ناشی از آن پس از خمش اولیه درخت، گشتاور نیروی وزن تاج و وزن تنه نیز وارد عمل می شوند. هرچه میزان خمش بیشتر شود گشتاورها با زاویه گرفتن تنه افزایش می یابند. و باعث ایجاد تنفس در تنه درخت می گرددند، لذا تعیین میزان حداقل تنفس در ضعیف ترین مقطع درخت که احتمال شکست بالایی را دارد از اهداف این مقاله می باشد. از این رو ابتدا لازم است نیروی درگ (F)، مدول الاستیسیته E و ممان اینرسی سطح مقطع مورد نظر تعیین شوند. F بر حسب نیوتون برمتر مربع با توجه حداقل سرعت باد در منطقه رویش درخت، مساحت سطح مقطعی از تاج که در مقابل باد قرار دارد و چگالی تاج از جدول ۱ بدست می آید. به منظور تعیین مقدار نیروی درگ، لازم است F در سطح مقطعی از تاج که در معرض وزش باد قرار دارد ضرب گردد.

E مدول الاستیسیته چوب سبز درخت است که با توجه به نوع و گونه درخت تعیین می شود و I ممان اینرسی مقطع تحت بررسی است که با توجه به قطر خارجی مقطع d_o و قطر حفره داخلی d_i (در صورت وجود) از رابطه ۱ محاسبه می شود. در درختانی که سطح مقطع بحرانی آنها شکل پیچیده ای داشته باشد، به کمک نرم افزارهای مدل سازی مهندسی می توان ممان اینرسی سطح را تعیین کرد.

$$I = \frac{\pi(d_o^4 - d_i^4)}{64} \quad (1)$$

ساختمانی ابعادی ناشی از تغییر شکل درخت در اثر خمش ناشی از باد از روابط ۲ تا ۶ محاسبه می شود.



شکل ۵ - (الف) شماتیک یک درخت تغییر شکل یافته در اثر نیروی باد، (ب) شماتیک یک درخت، نیروهای وارد بر آن و ابعاد مهم در تحلیل به کمک مدل استحکام تنه

انتخاب و اندازه گیری مشخصات فیزیکی نمونه

معمولًا درختانی نیاز به اجرای برنامه پایش دارند که علاوه بر سن بالا در مناطق حساسی رشد کرده باشند. همچنین درختانی که از نظر ظاهری معموب به نظر برسند نیازمند بررسی دقیق تر هستند. بدین منظور لازم است ابتدا تنه درخت از نظر وجود حفره داخلی بررسی شده و قطر و محل قرار گیری حفره مشخص شود. ارتفاع درخت (H)، ارتفاع تنه (h₁)، ارتفاع تاج (h₂) و قطر تاج (D) توسط متر و بالابر تعیین می‌شود. جهت تعیین چگالی سطحی تاج در دو حالت با برگ و بدون برگ به دلیل تغییرات چگالی در نقاط مختلف، روش قطعی ارائه نشده است و از روش‌های تقریبی استفاده می‌شود. یکی از روش‌های تقریبی به منظور تعیین میانگین چگالی سطحی، در سطح مقطع عمود بر جریان باد، عکس برداری موازی از تاج و پردازش تصویر می‌باشد. توسط نرم افزارهای پردازش تصویر نظریه متلب^۱ می‌توان به طور تقریبی چگالی سطحی تاج را بر حسب درصد بیان کرد.

$$W_1 = \rho_{Wood} \cdot \mu_0 \cdot v_1 + W_e \quad (7)$$

$$W_2 = \rho_{wood} \cdot A \cdot h_1 \quad (8)$$

گشتاور ناشی از نیروهای اصلی وارد بر درخت در محل مقطع S از روابط ۹ تا ۱۱ محاسبه می‌شوند. در این روابط M_{W1} گشتاور ناشی از نیروی وزن تاج، M_{W2} گشتاور ناشی از وزن تنه درخت و M_F گشتاور ناشی از نیروی باد می‌باشد.

$$M_{W1} = w_1 \cdot x_2 = \rho \cdot \mu_0 \cdot v_1 \cdot \frac{F}{6EI} [3h_3^2 - h_4^3] \quad (9)$$

$$M_{W2} = w_2 \cdot x_3 = \frac{\rho \cdot A_s \cdot h_1 \cdot F}{6EI} [3h_3^2 - h_4^3] \quad (10)$$

$$M_F = F \cdot \left[h_3 - \frac{Fh_3^3}{3EI} \operatorname{tg} \left[\frac{Fh_3^2}{2EI} \right]_{rad} - h_0 \right] \quad (11)$$

جدول ۱- مقدار نیروی وارد شده بر تاج درخت (نیوتون بر متر مربع) در سرعت‌های مختلف باد (کیلومتر بر ساعت) و چگالی‌های حجمی مختلف تاج (۱)

%۱۰۰	%۹۰	%۸۰	%۷۰	%۶۰	%۵۰	%۴۰	%۳۰	%۲۰	%۱۰	سرعت باد (km/hr)
۳۱۱	۲۷۹/۷	۲۴۸/۵	۲۱۷/۲	۱۸۶	۱۵۴/۸	۱۲۵	۹۳/۷	۶۲/۵	۳۱/۲	۳۳۸
۲۳۸/۱	۲۱۴/۳	۱۹۰/۵	۱۶۶/۷	۱۴۲/۸	۱۱۹	۹۵/۲	۷۱/۴	۴۷/۶	۲۳/۸	۲۹۵/۷۵
۱۷۵/۶	۱۵۷/۷	۱۳۹/۹	۱۲۲	۱۰۵/۶	۸۷/۸	۶۹/۹	۵۲/۱	۳۵/۷	۱۷/۹	۲۵۳/۵
۱۵۱/۸	۱۳۶/۹	۱۲۲	۱۰۷/۱	۹۰/۸	۷۵/۹	۶۱	۴۶/۱	۳۱/۲	۱۴/۹	۲۳۶/۶
۱۳۰/۹	۱۱۷/۶	۱۰۵/۶	۹۲/۳	۷۸/۹	۶۵/۵	۵۲/۱	۴۰/۲	۲۶/۸	۱۳/۴	۲۱۹/۷
۱۱۱/۶	۱۰۱/۲	۸۹/۳	۷۸/۹	۶۷	۵۶/۵	۴۴/۶	۳۴/۲	۲۲/۳	۱۱/۹	۲۰۲/۸
۹۳/۷	۸۴/۸	۷۵/۹	۶۵/۵	۵۶/۵	۴۷/۶	۳۷/۲	۲۸/۳	۱۹/۳	۸/۹	۱۸۵/۹
۷۷/۴	۶۹/۹	۶۲/۵	۵۵/۱	۴۶/۱	۳۸/۷	۳۱/۲	۲۳/۸	۱۴/۹	۷/۴	۱۶۹
۶۲/۵	۵۶/۵	۵۰/۶	۴۴/۶	۳۷/۲	۳۱/۲	۲۵/۳	۱۹/۳	۱۳/۴	۶	۱۵۲/۱
۴۹/۱	۴۴/۶	۴۰/۲	۳۴/۲	۲۹/۸	۲۵/۳	۱۹/۳	۱۴/۹	۱۰/۴	۴/۵	۱۳۵/۲
۳۸/۷	۳۴/۲	۳۱/۲	۲۶/۸	۲۲/۳	۱۹/۳	۱۴/۹	۱۱/۹	۷/۴	۳/۹	۱۱۸/۳
۲۸۸/۳	۲۵/۳	۲۲/۳	۱۹/۳	۱۶/۴	۱۳/۴	۱۱/۹	۸/۹	۶	۲/۸	۱۰۱/۴
۱۹/۳	۱۷/۹	۱۴/۹	۱۳/۴	۱۱/۹	۱۰/۴	۷/۴	۶	۳/۹	۱/۹	۸۴/۵
۱۶/۴	۱۴/۹	۱۳/۴	۱۰/۴	۸/۹	۷/۴	۶	۴/۵	۳/۱	۱/۶	۷۶/۰۵
۱۱/۹	۱۱/۹	۱۰/۴	۸/۹	۷/۴	۶	۴/۵	۳/۷	۲/۵	۱/۲	۶۷/۶
۸/۹	۸/۹	۷/۴	۷/۴	۶	۴/۵	۳/۹	۲/۸	۱/۹	۰/۱۸۹	۵۹/۱۵
۷/۴	۶	۶	۴/۵	۴/۵	۳/۶	۲/۸	۲/۱	۱/۳	۰/۷۴	۵/۷
۴/۵	۴/۵	۳/۹	۳/۴	۳	۲/۴	۱/۹	۱/۵	۱/۰۴	۰/۴۵	۴۲/۲۵
۳/۱	۲/۸	۲/۵	۲/۲	۱/۹	۱/۵	۱/۲	۰/۹	۰/۶	۰/۳	۳۳/۸
۱/۸	۱/۶	۱/۳	۱/۲	۱	۰/۹	۰/۷	۰/۶	۰/۳	۰/۱۵	۲۵/۳۵
۰/۷	۰/۷	۰/۶	۰/۶	۰/۴	۰/۴	۰/۳	۰/۳	۰/۱۵	۰/۰۷	۱۶/۹
۰/۱	۰/۱	۰/۱	۰/۱	۰/۱	۰/۱	۰/۱	۰/۱	۰/۰۴	۰/۰۱	۸/۴۵

و سوراخ های ناشی از حشرات تحلیل مکانیکی را با مشکل مواجه می کنند. در مدل مکانیکی حاضر، نیروی باد کاملاً افقی و به صورت بار گسترده در نظر گرفته شد. همچنین فقط حفره ها و پوسیدگی های داخلی مد نظر قرار گرفتند. از تنش های فشاری و پیچشی به دلیل اثر قابل اغماض نسبت به تنش های کششی و خمی صرف نظر شد. تنش ایجاد شده در مقطع S را می توان به ترتیب اهمیت به سه بخش تنش ناشی از نیروی باد σ_{Mw1} ، تنش ناشی از نیروی وزن تاج σ_{Mw2} و تنش ناشی از نیروی وزن تنه σ_{Mw3} تقسیم نمود (شکل ۶). که از روابط ۱۲ تا ۱۴ محاسبه می شوند.

$$\sigma_{Mw1} = \frac{M_{w1} \cdot r}{I} = \frac{\rho \cdot \mu_0 \cdot v_1 \cdot F \cdot r [3h_3 h_4^2 - h_4^3]}{6EI^2} \quad (12)$$

$$\sigma_{Mw2} = \frac{M_{w2} \cdot r}{I} = \frac{\rho \cdot A_s \cdot h_1 \cdot F \cdot r [3h_3 a^2 - a^3]}{6EI^2} \quad (13)$$

$$\sigma_F = \frac{M_F \cdot r}{I} = \frac{F \cdot r \left[h_3 - \frac{Fh_3^3}{3EI} \operatorname{tg} \left[\frac{Fh_3^2}{2EI} \right]_{rad} - h_0 \right]}{I} \quad (14)$$

تنش کل بوجود آمده در مقطع S مجموع تنش های فوق می باشد. از آنجا که مقاومت چوب در برابر تنش های فشاری بسیار بیشتر از تنش های کششی است، احتمال شروع شکست در نقطه ای که حداکثر تنش کششی را دارد (نقطه ۱ کششی شکست در مقطع S از جمع جبری تنش های موجود (رابطه ۱۵) بدست می آید.

اثر تغییر قطر حفره داخلی روی تنش کل حداکثر به کمک مدل ریاضی

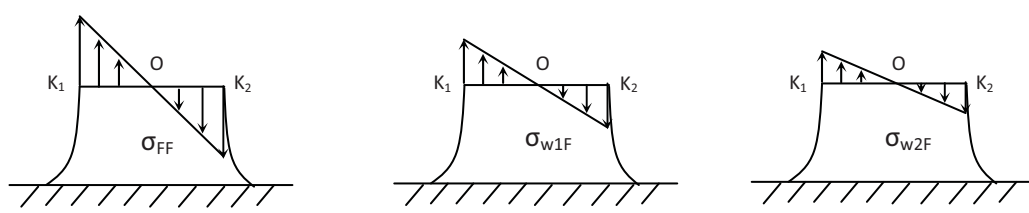
قطر حفره ها و پوسیدگی های داخلی در تنه درخت در اثر شرایط محیطی و رشد درخت هر ساله افزایش می یابد. هرگونه تغییر در قطر حفره داخلی موجب تغییر در استحکام درخت می گردد. در فضاهای سبز شهری درختانی وجود دارند که بیشتر مورد استفاده قرار می گیرند، در نتیجه حفظ و پایش وضعیت و تعیین ضریب اطمینان آنها از اهمیت ویژه ای برخوردار است. از پر کاربرد ترین این درختان می توان چنار را نام برد. پارامتر های فیزیکی و مکانیکی چوب این درخت در جدول ۲ آمده است. این مقادیر در دو میزان رطوبت ۱۲ درصد و رطوبت چوب زنده، اندازه گیری و ذکر شده اند. به منظور تعیین اثر تغییر قطر حفره داخلی روی تنش کل حداکثر با استفاده از مدل ریاضی حاضر، به عنوان مثال محاسبات روی یک نمونه درخت چنار با قطر تنه ۶۴ سانتی متر، ارتفاع ۱۱/۲ متر، ارتفاع تاج ۷/۸ متر، ارتفاع تنه ۳/۴ متر، چگالی تاج ۷۰ درصد، حجم تاج ۳۱ متر مربع، چگالی تاج در حالت بدون برگ ۱۰ درصد در منطقه ای با حداکثر سرعت باد ۱۵۰ کیلومتر بر ساعت و سطح مقابل باد حدود ۱۳/۵ متر مربع انجام گرفت.

نتایج و بحث

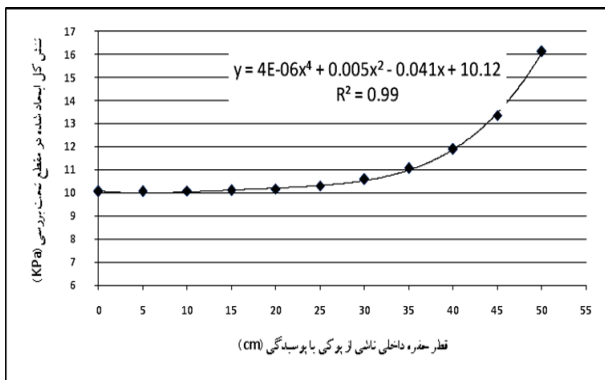
نیروی باد وارد بر تنه و تاج درخت شامل متغیر های زیادی بوده و تجزیه و تحلیل کامل آنها مقدور نمی باشد. از طرفی چوب درخت ساختار ارتوتروپیک داشته و عواملی نظیر وجود گره، حفره، پوسیدگی

جدول ۲ - پارامتر های فیزیکی و مکانیکی درخت چنار در حالت چوب سبز و رطوبت ۱۲ درصد (۲)

نام گونه	درصد رطوبت	چگالی ρ (kg/m³)	مدول شکست (kPa)	مدول الاستیسیته (MPa) E	حداکثر تنش فشاری موازی با جهت آوندها (kPa)	حداکثر تنش فشاری عمود بر جهت آوندها (kPa)	حداکثر تنش فشاری عمود بر جهت آوندها (kPa)	حداکثر تنش کششی عمود بر جهت آوندها (kPa) σ _{allowable}
چنار	سبز	۴۶۰	۴۵۰۰۰	۷۳۰۰	۲۰۱۰۰	۲۵۰۰	۴۳۰۰	۵۰۰۰
	%۱۲	۴۹۰	۶۹۰۰۰	۹۸۰۰	۳۷۱۰۰	۴۸۰۰		



شکل ۶- تفکیک تنش بوجود آمده در اثر نیروی باد و خمی درخت در مقطع تحت بررسی



شکل ۶- منحنی تغییرات تنفس کل حداکثر نسبت به تغییرات قطر حفره داخلی تنه

نتیجه گیری

مجموعه ساختار یک درخت که شامل ریشه، تنه و تاج می‌باشد، از نظر هندسی و نیرویی دارای پارامترهای بسیاری بوده، که تحلیل مکانیکی آن را، در مقابل نیروهای واردہ در اثر باد و طوفان پیچیده می‌کند. بدین دلیل در این مقاله جهت گسترش یک مدل ریاضی کاربردی که رفتار و توانایی تحمل درخت را در ارتفاع درخت و غیره زاویه شاخه‌های اصلی با تنه، کاهش قطر تنه در ارتفاع درخت و غیره صرف نظر کرده و بعضی پارامترهای دیگر را نظیر تغییرات تراکم برگ‌ها در حجم تاج، سلامت چوب تنه درخت، مساحت در مقابل باد و وزن تاج و تنه و غیره را ساده سازی کنیم (رابطه ۱۶). این مدل می‌تواند ضریب اطمینان توانایی تنه درخت در مقابل حداکثر سرعت بادهای موجود در منطقه رویش را تعیین کند (رابطه ۱۷). اکثر درختانی که از نظر استحکام مورد بررسی قرار می‌گیرند، کهنسال بوده و مشکوک به وجود حفره و پوسیدگی داخلی در تنه می‌باشد. به منظور افزایش کارایی و دقت مدل ریاضی لازم است وضعیت داخلی تنه از نظر وجود حفره و پوسیدگی به کمک روش‌های رایج مانند اسکن با امواج رادار زمین نفوذ (GPR)، توموگرافی صوتی و مقاومت سنجی^۴ مشخص شود.

در این مقاله تغییرات حداکثر تنفس ایجاد شده در مقطع درخت را نسبت به افزایش قطر حفره داخلی برای یک نمونه درخت چنار با استفاده از مدل ریاضی بدست آمد (شکل ۶). شکل ۶ نشان می‌دهد حداکثر تنفس کل ایجاد شده در مقطع درخت تحت شرایط یکسان سرعت باد، ارتفاع درخت و چگالی تاج با تغییر قطر حفره از ۴۰ درصد

$$\sigma_{Total} = \sigma_{M_{w_1}} + \sigma_{M_{w_2}} + \sigma_T \quad (15)$$

$$\sigma_{max} = \sigma_{Total_{K_1}} = (\sigma_{M_{w_1}} + \sigma_{M_{w_2}} + \sigma_T)_{K_1} \quad (16)$$

با در اختیار داشتن مدول الاستیسیته، حداکثر تنفس قبل تحمل و چگالی چوب درخت به همراه پارامترهای فیزیکی آن و حداکثر سرعت باد در منطقه رویش درخت می‌توان بیشینه تنفس وارد بر مقطع حساس تنه را محاسبه و با حداکثر تنفس کششی قبل تحمل چوب مقایسه نمود. بدین وسیله می‌توان ضریب اطمینان درخت در مقابل بادهای منطقه رویش را بدست آورد (رابطه ۱۷). چنانچه ضریب اطمینان کوچکتر از یک باشد، درخت توانایی تحمل بادهای موجود در منطقه را ندارد و سقوط آن حتمی می‌باشد. ضریب اطمینان بین ۱/۵ به معنی توانایی تحمل باد با حداکثر سرعت پیش‌بینی شده در منطقه است ولی احتمال سقوط به دلیل شرایط پیش‌بینی نشده، بالا می‌باشد. درنتیجه این قبیل درختان نیاز به رسیدگی و بررسی‌های بیشتری دارند. ضریب اطمینان بزرگتر از ۱/۵، وضعیت ایمنی شرایط موجود با قابلیت اطمینان بالا را نشان می‌دهد. در این حالت درخت توانایی تحمل حداکثر سرعت بادهای پیش‌بینی شده و شرایط پیش‌بینی نشده متعارف را دارد، در نتیجه می‌توان آن را حفظ کرد.

$$FS = \frac{\sigma_{allowable}}{\sigma_{max}} > 1/5 \quad (17)$$

در این رابطه FS ضریب اطمینان^۱ درخت و σ_{max} حداکثر تنفس وارد بر مقطع حساس درخت و $\sigma_{allowable}$ حداکثر تنفس مجاز قابل تحمل توسط چوب گونه خاص درخت مورد نظر می‌باشد. نتایج این تحلیل شامل محاسبه تنفس کل حداکثر به صورت پارامتری بر حسب متغیر قطر حفره داخلی که هم مرکز با تنه درخت در نظر گرفته شد، می‌باشد.

به منظور تعیین اثر قطر حفره داخلی روی حداکثر تنفس در تنه درخت که در بخش مواد و روش‌ها معرفی شد، منحنی تغییرات تنفس کل حداکثر نسبت به تغییر قطر حفره داخلی از صفر تا ۵۰ سانتی متر در نمودار شکل ۶ نشان داده شده است. همانطور که مشاهده می‌شود گسترش قطر حفره داخلی تا ۲۰ سانتی متر تأثیر چندانی در تنفس کل حداکثر ندارد اما با گذر از ۲۵ سانتی متر تنفس کل حداکثر به صورت تابع درجه چهار با $R^2 = 0.99$ (رابطه ۱۸) و شکل ۶ ناگهانی افزایش می‌یابد. این حد که آستانه افزایش ناگهانی تنفس کل حداکثر است، حد آستانه خطر سقوط می‌نامیم.

$$\sigma_{max} = 4E - 6d_i^4 + 0.005d_i^2 + 10.12 \quad (18)$$

2- Ground penetrating radar

3- Sonic tomography

4- Resistography

1- Factor of safety

سپاسگزاری

بدین وسیله لازم می‌دانیم از مدیریت سازمان پارک‌ها و فضای سبز شهرداری مشهد و سرکار خانم مهندس هژبری و آقای مهندس وحدتی پناه به دلیل فراهم نمودن امکانات لازم جهت انجام این تحقیق سپاس و قدردانی نماییم.

قطر تنه به صورت تابع درجه چهار به طور ناگهانی افزایش یافت. بدین وسیله در صورت در دست داشتن اندازه قطر حفره یا پوسیدگی داخلی تنه می‌توان تخمینی از درجه خطرناکی درخت بدست آورده که برای مدیران فضای سبز شهری به منظور تشخیص درختان پر خطر بسیار حائز اهمیت می‌باشد.

منابع

- 1- Coder K. 2000. Estimating wind force on tree crown. Tree Biomechanics Series, university of Georgia Sep.2000. WEB Site: www.forestry.uga.edu/warnell/service/library
- 2- Green D., Winandy J., and Kretschmann D. 1999. Mechanical Properties of Wood-Forest Products Laboratory. Wood handbook—Wood as an engineering material.chapter4, p1-13.
- 3- Gormally C., McIntosh M., Mucciardi A., and McCarty J. 2011. Ground-penetrating radar detection and three-dimensional mapping of lateral macro pores: II. Riparian application. Soil Physics, Vol. 75 No. 4, p. 1236-1243.
- 4- Hallam C. 2004. Sonic tomograph test and summary report. ENSPEC pty LTD. December 2004.
- 5- James K. 2003. Dynamic loading of trees. Journal of Arboriculture 29(3) p165-171.
- 6- Kahl T., Wirth C., and Mund M. 2009. Using drill resistance to quantify the density in coarse woody debris of Norway spruce. European Journal of Forest Research 128 p467-473.
- 7- Shi-igai H. 1988. Measurement of wind drag forces on trees. Natural disaster science 10(2), p 25-33.
- 8- Yang B., Shaw R., and Paw-U K. 2006. Wind loading on trees across a forest edge: A large eddy simulation, Agricultural and Forest Meteorology 141 p133-146.